



انجمن مهندسی بیوشیمیک شهری و بخشی ایران

سیزدهمین کنگره ملی مهندسی مکانیک
بیوسیستم و مکانیک اسیون ایران
(۱۴۰۰) مکانیک بیوسیستم

۱۴۰۰ شهریور ۲۴-۲۶



دانشگاه تبریز

پیش‌بینی مواد جامد قابل حل و اسیدیته قابل تیتر میوه گلابی با استفاده طیف‌سنجدیک فروسرخ نزدیک

نرگس سعادتی شرفه^{۱*}، ولی رسوی شریانی^۲، ابراهیم تقی‌نژاد^۳، عبدالمجید معین فر^۴

۱. دانشجوی کارشناسی ارشد گروه مهندسی مکانیک بیوسیستم دانشگاه حقوق اردبیلی

(nrgsaadati1993@gmail.com)

۲. دانشیار گروه مهندسی مکانیک بیوسیستم دانشگاه حقوق اردبیلی (vrasooli@uma.ac.ir)

۳. استادیار گروه مهندسی مکانیک بیوسیستم دانشگاه حقوق اردبیلی (nrgsaadati1993@gmail.com)

۴. دانش آموخته دکتری گروه مهندسی مکانیک بیوسیستم دانشگاه حقوق اردبیلی (majid.mf93@gmail.com)

چکیده

تشخیص خواص کیفی میوه گلابی معمولاً با استفاده از روش‌های مخبر انجام می‌شود که چنین روش‌های معمولاً هزینه بر و وقت گیر هستند، بنابراین یافتن روش‌هایی که بصورت غیر مخبر امکان سنجش خواصی کیفی میوه را تعیین کند دارای اهمیت است. هدف از این تحقیق تعیین خواص کیفی میوه گلابی طی دوره انبارمانی با استفاده از طیف‌سنجدی فروسرخ است. میوه‌ها در سه محیط با دماهای متفاوت، ۰، ۵ و ۱۰ درجه سلسیوس ذخیره شدند. سپس طیف‌های Vis/NIR برای هر نمونه از نقطه میوه اندازه‌گیری شد. در مرحله بعد ویژگی‌های کیفی میوه گلابی (مواد جامد محلول SSC و اسیدیته قابل تیتر TA) بر اساس روش‌های شیمیایی-آزمایشگاهی و با استفاده از ابزار و دستورالعمل‌های موجود تعیین شد. بوسیله پیش‌پردازش‌های متنوع تاثیرات عوامل مزاحم به حداقل رسید. در نهایت با استفاده از داده‌های منتج از طیف‌سنجدی و آزمایش‌های مرجع بر اساس روش رگرسیون حداقل مربعات (PLS) اقدام به مدل‌سازی گردید. دقت پیش‌بینی مربوط به SSC بر اساس طیف پیش‌پردازش شده با مشتق اول و با دقت $R^2=0.95$ و $SDR=4/8$ حاصل شد. دقت پیش‌بینی مربوط به TA بر اساس طیف پیش‌پردازش شده با مشتق دوم و با دقت $R^2=0.96$ و $SDR=6/1$ حاصل شد. نتایج این تحقیق نشان داد که طیف‌سنجدی فروسرخ می‌تواند بعنوان روشی کم هزینه و سریع جایگزین روش‌های مخبر استی برای اندازه‌گیری خواص کیفی میوه باشد.

کلمات کلیدی:

طیف‌سنجدی - پیش‌پردازش - فروسرخ‌نزنده - گلابی - مواد جامد محلول.



*نرگس سعادتی شرفه

مقدمه

تفاضا برای میوه و سبزیجات با کیفیت که دارای مواد مغذی و ویتامین‌های بیشتری هستند در چند دهه گذشته روبه افزایش بوده است. بنابراین یافتن راه کارهایی برای شناسایی و تخمین مواد مغذی و ویتامین‌های محصولات کشاورزی از اهمیت بالایی در سال‌های اخیر بخوردار بوده است. بنابراین در جه‌بندی میوه‌ها بر اساس کیفیت و میزان مواد مغذی و ویتامین‌های آن یکی از الزامات پس از برداشت است که ارزش تجاری میوه‌ها را افزایش می‌دهد^[۱]. برای بدست آوردن اطمینان بیشتر در مورد کیفیت محصولات درجه بندی شده، ارزیابی کیفی باید بر اساس نمونه‌های زیادی باشد و از سوی دیگر باید به صورت سریع و غیرمخرب انجام شود تا در وقت و هزینه صرفه جویی شده و دقت افزایش یابد^[۲]. در چهار دهه اخیر روش‌های متعددی برای ارزیابی کیفی مواد مغذی و ویتامین‌های میوه به صورت غیرمخرب ابداع شده است که تنها تعداد اندکی از آن‌ها توانسته‌اند شرایط مطلوب از لحاظ فنی و صنعتی را برآورده سازد و توجیه اقتصادی داشته باشند. روش‌های اپتیکی، مکانیکی، شیمیایی و امواج الکترومغناطیسی و صوتی در توسعه آزمون‌های غیرمخرب نقش اساسی داشته‌اند، اما روش‌های به کار رفته توانایی کاوش ویژگی‌های محدودی از میوه‌ها را دارند. بنابراین لازم است شرایط حاکم در این روش‌ها به دقت بررسی شده و در گزارش یا در گزارش تأثیر نتایج آزمایش لحاظ شوند^[۳]. در میان روش‌های ذکر شده کاربرد امواج الکترومغناطیس به ویژه فناوری طیف‌سنجدی موئی/فروسرخ نزدیک با توجه به دقت بالا و قابلیت تکرارپذیری آن، تجاری‌سازی شده است و ارزش قابل توجهی برای صنایع پس از برداشت میوه داشته است^[۴].

طیف‌سنجدی NIR برای اولین بار توسط نوریس^[۵] برای اندازه‌گیری رطوبت دانه در کاربردهای کشاورزی مورد استفاده قرار گرفت. از آن زمان به بعد برای تجزیه و تحلیل سریع میزان رطوبت، پرتوئین و چربی در طیف گسترده‌ای از محصولات غذایی و کشاورزی مورد استفاده قرار گرفته است^[۶]. برنامه‌های اولیه در باغبانی به محتوای ماده خشک پیاز^[۷]، محتوای مواد جامدات محلول (SSC) سبب^[۸] و محتوای آب قارچ^[۹] متتمرکز بود، اما از آن زمان تحقیقات بسیاری انجام شده است. از آنجا که انتشار پرتو NIR در بافت میوه و سبزیجات تحت تأثیر ریزاساختار آنهاست، به زودی کشف شد که از طیف‌سنجدی NIR می‌توان برای اندازه‌گیری خصوصیات مربوط به ریزاساختار مانند سختی، آسیب داخلی و حتی ویژگی‌های حسی استفاده کرد^[۱۰]. پیشرفت‌های اخیری که پتانسیل طیف‌سنجدی NIR را افزایش می‌دهد، شامل تکنیک‌های تصویربرداری چند و ابر طیفی است که اطلاعات مکانی را ارائه می‌دهد^[۱۱] و طیف‌سنجدی چندزمانه که اجازه می‌دهد تا فرآیندهای جذب و پراکنش به طور جداگانه لندازه‌گیری شوند^[۱۲]. اهمیت روزافزون طیف‌سنجدی NIR در فناوری پس از برداشت از افزایش اخیر تعداد مقالات و همچنین از این واقعیت که بسیاری از تولیدکنندگان خطوط درجه‌بندی آفلاین، اکنون سیستم‌های NIR را برای اندازه‌گیری صفات مختلف کیفیت پیاده‌سازی کرده‌اند، آشکار است.

در تحقیقی SSC گلابی با استفاده از طیف تعاملی فروسرخ و بر اساس تکنیک ترکیبی حداقل مربعات جرئی PLS و رگرسیون خطی چندمتغیره MLR مدل‌سازی شد. در تکنیک ترکیبی ۲۰ متغیر نهان (LVs)

برای مدلسازی در نظر گرفته شد که ۱۲ مولفه اول با استفاده از روش PLS و ۸ مولفه بعدی بر اساس روش MLR به پیش‌بینی SSC پرداختند. نتایج مدلسازی نشان داد که مدلسازی ترکیبی با حفظ اطلاعات تمامی LVs دقیق‌تری در پیش‌بینی نسبت به مدل‌های تکی PLS و MLR داشته است [۲۲]. امکان پیش‌بینی گلابی‌های سالم و هسته قهوه‌ای با استفاده از طیف سنجی انتقالی فروسرخ در محدوده طول موج ۶۰۰-۹۰۴ نانومتر بر اساس مدلسازی PLS بررسی شد. مدل‌های کالیبره شده با گلابی‌های سالم، هسته قهوه‌ای و ترکیبی به ترتیب پیش‌بینی دقیق‌تر ارائه دادند. سپس یک استراتژی ترکیبی برای اندازه‌گیری همزمان هسته قهوه‌ای و SSC ارائه شد. استراتژی جدید که در مرحله اول گلابی‌های سالم را از هسته قهوه‌ای تشخیص می‌دهد و در مرحله بعد SSC را پیش‌بینی می‌کند، دقیق‌تر از الگوریتم روش PLS است [۱۴]. امکان استفاده از مدل چند رقمی برای تعیین کمی SSC در سه رقم گلابی بر اساس طیف سنجی فروسرخ در محدوده طول موج های ۱۰۰۰-۳۵۰ و ۱۸۰۰-۱۰۰۰ نانومتر بررسی شد. از الگوریتم‌های مختلف انتخاب متغیر برای یهینه‌سازی مدل‌ها استفاده شد. نتایج این تحقیق نشان داد که مدل چند رقمی برای پیش‌بینی SSC با استفاده از همه نمونه‌ها نسبت به مدل‌های رقم فردی برتر بود و نمونه‌گیری مجدد وزن‌دار تطبیقی روابطی (CARS) بهتر از الگوریتم حذف متغیر غیراطلاعاتی مونت کارلو (MC-UVE) و پیش‌بینی‌های پی‌درپی (SPA) برای انتخاب متغیرهای موثر بود [۷]. در تحقیقی از یک طیف سنج پرتابل فروسرخ در محدوده طیفی ۱۱۰۰-۳۱۰ نانومتر برای پیش‌بینی SSC گلابی در باعث استفاده شد. سه باعث با دو رقم گلابی در این تحقیق مورد بررسی قرار گرفت. طیف جذب فروسرخ براساس روش PLS برای مدلسازی SSC بکار برده شد. نتایج این تحقیق نشان داد که مدل‌های PLS از دقیق‌تر این تحقیق در تعیین SSC رقمهای فردی برخوردار هستند در حالیکه استفاده از یک مدل جامع برای پیش‌بینی SSC هر دو مدل باعث پایین امدن دقیق مدل می‌شود که این امر می‌تواند به سطح رسیدگی متفاوت گلابی‌های هر رقم نسبت داده شود [۴]. امکان پیش‌بینی SSC گلابی با استفاده از طیف انتقال فروسرخ در محدوده طول موج ۶۳۰-۹۰۰ نانومتر بررسی شد. از دگرسیون حداقل مربعات جزئی (PLS) و ماشین بردار پشتیبانی-کمترین مربعات (LS-SVM) برای مدلسازی SSC استفاده شد همچنین روش (CARS) برای انتخاب طول موجهای موثر بکار گرفته شد. در نهایت برای بالا بردن دقیق‌تر مدل از همچوشه اطلاعات طیفی و تعییرات دما و قطر استفاده شد. نتایج این تحقیق نشان داد که مدل همچوشه اطلاعات طیفی بر اساس روش LS-SVM بهترین دقیق‌تر پیش‌بینی SSC را حاصل [۱۷].

هدف از این تحقیق امکان سنجی شناسایی و پیش‌بینی خواص کیفی میوه گلابی (مواد جامد محلول (SSC) و اسید قابل تیتراسیون (TA)) طی دوره انبارداری و در شرایط دمایی انبارداری متفاوت است.

مواد و روشها

در ابتدا میوه‌های گلابی با ظاهر سالم و دارای اندازه و شکل یکسان خریداری شد، سپس گلابی‌ها در ۹ دسته ۱۵ تایی گروه‌بندی شدند. میوه‌ها در سه محیط با دمایهای متفاوت ۰، ۵ و ۱۰ درجه سلسیوس ذخیره شدند، سپس نمونه‌ها در فواصل زمانی ۱۵، ۳۰ و ۴۵ روز از انبار خارج شدند و اندازه‌گیری‌های



طیفی و شیمایی هر نمونه انجام شد. دمای ۰ درجه سلسیوس دمای توصیه شده برای انبارداری میوه گلابی می باشد که در این شرایط میوه قادر است مدت زمان بیشتری ویژگی های کیفی خود را حفظ نماید [۲۱ و ۲۲]. در شکل (۱) نمونه ای از گلابی ها در دوره های مختلف انبارمانی و شرایط دمایی متفاوت به تصویر کشیده شده است تا پیش زمینه بصری از تغییرات ظاهری میوه طی دوره انبارمانی وجود داشته باشد.



شکل ۱: تغییرات رنگی پوست میوه گلابی طی دوره انبارمانی و در شرایط متفاوت دمایی. از راست به چپ تغییرات شرایط دمایی و از بالا به پایین تغییرات دوره انبارمانی

طیف های Vis/NIR در مدل مقابله ای (جدب) برای هر نمونه از ۴ نقطه میوه لندازه گیری شد. به منظور اکتساب طیف از گلابی از یک اسپکترورادیومتر مدل Apogee Instruments, INC., Logan, UT, (PS-100) (USA) ساخت کشور آمریکا، موجود در آزمایشگاه ایزارد دلیلیک گروه مکانیک بیوسیستم دانشگاه محقق اردبیلی استفاده گردید. این اسپکترورادیومتر بسیار کوچک، سبک، قابل حمل، دارای تک فام سازی از نوع پاشنده با قدرت تفکیک ۱ نانومتر و آشکار ساز آرایه CCD سیلیکون خطی با ۲۰۴۸ پیکسل است که محدوده طیفی ۱۱۵۰-۲۵۰ نانومتر (Vis/NIR) را به خوبی پوشش میدهد. همچنین، قابلیت اتصال فیبر نوری به اسپکترورادیومتر PS-100 و جابجایی اطلاعات به رایانه با هدف نمایش و ذخیره سازی طیف های اکتسابی در نرم افزار Spectra Wiz، بواسطه پورت USB وجود دارد. در شکل (۲) نحوه اکتساب طیف در مدل بازنگشی نمایش داده شده است.



انجمن مهندسی بایویندیک و مکانیزاسیون ایران

سیزدهمین کنگره ملی مهندسی مکانیک
بیوسیستم و مکانیزاسیون ایران
(۱۴۰۰) مکانیک بیوسیستم

۱۴۰۰ شهریور ۲۴-۲۶



شکل ۲: اکتساب طیف در مدبازتابی از میوه گلابی

در مرحله بعد ویژگی‌های کیفی میوه گلابی بر اساس روش‌های شیمیایی-آزمایشگاهی و با استفاده از ابزار و دستورالعمل‌های مرجع تعیین شد. به منظور اندازه‌گیری SSC دستگاه رفراکتومتر چشمی مدل PAL1 با دقیقه ۰/۱ درجه بریکس (شکل ۳) بکار برده شد. نحوه انجام این آزمایش بگونه‌ای است که چند قطره از عصاره گلابی را روی دستگاه ریخته و عدد مربوطه از روی ستون مدرج خوانده می‌شود. برای اندازه‌گیری TA از روش تحلیل شیمیایی عصاره میوه با استفاده از هیدروکسید شدیم بر اساس استاندارد (GB/T 12293-90) استفاده شد [۱۹].



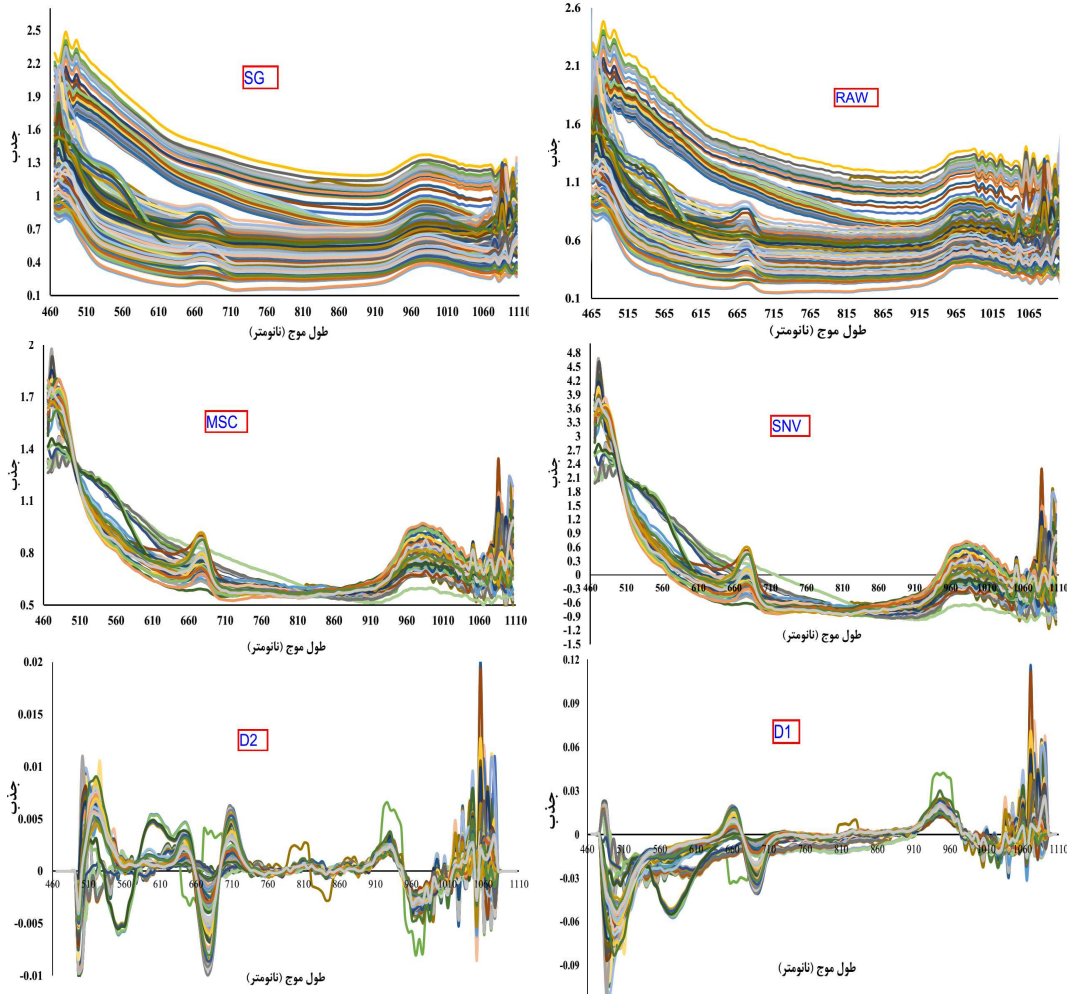
شکل ۳: رفراکتومتر چشمی مدل PAL

بعد از ذخیره‌سازی طیف‌ها و منتقل کردن آن‌ها به نرم‌افزار Excel با میانیگن گیری از چهار طیف اکتسابی از طرفین میوه یک طیف واحد بدست آمد که به عنوان طیف شاخص آن نمونه در نظر گرفته شد. با توجه به نویز موجود در طول موج‌های ابتدایی و انتهایی طیف‌ها این نواحی حذف می‌شوند و در نهایت محدوده طیفی ۴۳۰-۱۰۳۰ nm برای تجزیه و تحلیل و مدل‌سازی بکار برده شد. به دلیل اینکه داده‌های طیفی متأثر از عواملی مانند اثر پراکنش نور توسط تغییر آشکارساز با نمونه، تغییر در اندازه نمونه، ناهمواری‌های سطحی در نمونه هستند، بوسیله افزایش دمای اسپکترومتر و عوامل متعدد دیگری نویزهای ایجاد خواهد شد. به منظور تعدیل تأثیرات چنین اطلاعات نامفهومی و دستیابی به مدل‌های واسنجی با ثبات، دقیق و با قابلیت اطمینان نیاز به پیش‌پردازش داده‌های طیفی است. در این پژوهش از پیش‌پردازش‌های مختلف هموارسازی (SG) و تصویح پخش افزاینده (MSC)، نرمال‌سازی (SNV) و افزایش قدرت تفکیک طیفی (مشتق اول D1 و مشتق دوم D2) استفاده شد.



تحلیل نتایج

در شکل های (۴) طیف های جذبی Vis/NIR پیش پردازش شده با روش های مختلف هموار سازی (SG)، تصحیح پخش افزاینده (MSC)، نرمال سازی (SNV) و افزایش قدرت تفکیک طیفی (مشتق اول D1 و مشتق دوم D2) برای نمونه های گلابی ارائه شده است.



شکل ۴: طیف های جذبی Vis/NIR پیش پردازش شده با روش های مختلف

در جدول (۱ و ۲) معیارهای آماری مورد نظر برای کالیبراسیون و اعتبارسنجی مدل های PLS مبتنی بر پیش پردازش های مختلف طیف های Vis/NIR، تخمین گر SSC و TA و مدل های مستقل ارائه شده در جدول (۱ و ۲) تمامی مدل های ایجاد شده در هردو روشن اعتبارسنجی متقابل و مستقل دارای دقت پیش بینی بالایی هستند. عملکرد مدل های مبتنی بر پیش پردازش SG بسیار نزدیک به مدل های بدون پیش پردازش می باشد. همچنین عملکرد مدل های مبتنی بر پیش پردازش های MSC و SNV بسیار نزدیک به یکدیگر است که این روند در نمودار گرافیکی این دو روش پیش پردازش هم قابل رویت است. در نهایت مدل های مبتنی بر پیش پردازش های مشتق گیری در هردو روشن اعتبارسنجی

دارای عملکرد بالاتری نسبت به سایر مدل‌ها بوده‌اند. قابلیت بالاتر پیش‌پردازش مشتق‌گیری در مقایسه با سایر پیش‌پردازها می‌تواند به این واقعیت نسبت داده شود که سایر پیش‌پردازها امکان حذف و هموارسازی طول موج‌های موثر و پیک‌های موضعی را فراهم می‌کنند در حالی که مشتق‌گیری موجب افزایش پیک‌های موضعی و طول موج‌های قابل تفکیک خواهد شد [۱۰ و ۲۰]. در نهایت برای SSC مدل مبتنی بر پیش‌پردازش مشتق‌گیری اول در هردو روش اعتبارسنجی دارای عملکرد بالاتری نسبت به سایر مدل‌ها بوده است (SDR = ۴/۸۳، $r_{cv} = ۰/۹۵$ ، $r_p = ۰/۷۱$). همچنین برای TA مدل مبتنی بر پیش‌پردازش مشتق‌گیری دوم در هردو روش اعتبارسنجی دارای عملکرد بالاتری نسبت به سایر مدل‌ها بوده است (SDR = ۶/۱، $r_{cv} = ۰/۹۶$ ، $r_p = ۰/۷۴$).

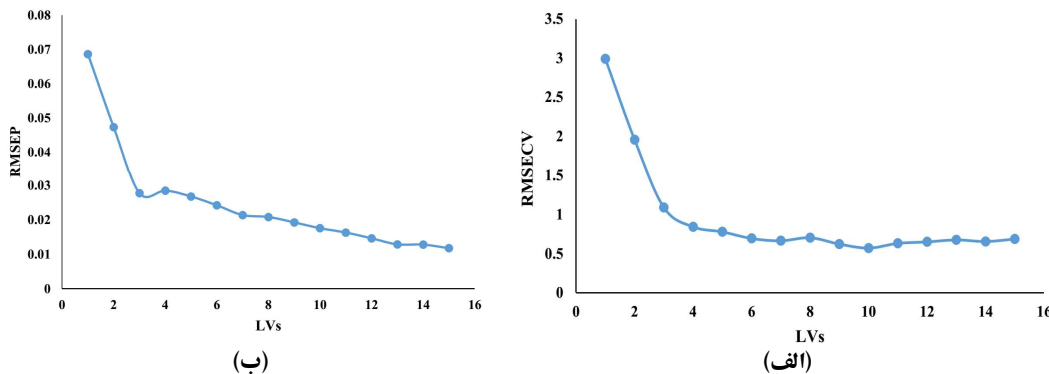
جدول ۱: نتایج اعتبارسنجی مدل‌های PLS مبتنی بر روش‌های مختلف پیش‌پردازش طیف‌های Vis/NIR برای تخمین SSC

میوه گلابی													
پیش‌پردازش	امام	SG	D1	D2	MSC	SNV	LVs	r_c	r_{cv}	RMSEC	r_p	RMSECP	SDR
خام							۱	۰/۹۳	۰/۹۳	۰/۸۴	۰/۸۵	۰/۹۶	۴/۷
	SG						۱	۰/۹۳	۰/۹۳	۰/۸۴	۰/۸۵	۰/۹۶	۴/۷
		D1					۵	۰/۹۶	۰/۹۴	۰/۷	۰/۸۱	۰/۹۵	۴/۸۳
			D2				۸	۰/۹۶	۰/۹۳	۰/۷	۰/۸۵	۰/۹۱	۳/۸۴
				MSC			۴	۰/۹۳	۰/۹۸	۰/۹۱	۰/۹۱	۰/۹۳	۴/۵
					SNV		۴	۰/۹۳	۰/۹۶	۰/۸۷	۰/۹۶	۰/۹۴	۴/۶

جدول ۲: نتایج اعتبارسنجی مدل‌های PLS مبتنی بر روش‌های مختلف پیش‌پردازش طیف‌های Vis/NIR برای تخمین TA

میوه گلابی													
پیش‌پردازش	امام	SG	D1	D2	MSC	SNV	LVs	r_c	r_{cv}	RMSEC	r_p	RMSECP	SDR
خام							۲	۰/۹۴	۰/۹۲	۰/۰۱۸	۰/۰۱۹	۰/۹۴	۴/۶
	SG						۲	۰/۹۴	۰/۹۳	۰/۰۱۸	۰/۰۱۹	۰/۹۴	۴/۶
		D1					۳	۰/۹۴	۰/۹۳	۰/۰۱۷	۰/۰۱۹	۰/۹۲	۳/۹
			D2				۱۲	۰/۹۶	۰/۹۴	۰/۰۱۴	۰/۰۱۸	۰/۹۶	۶/۱
				MSC			۵	۰/۹۲	۰/۹۱	۰/۰۲۱	۰/۰۲۱	۰/۹۳	۴/۳
					SNV		۴	۰/۹۳	۰/۹۱	۰/۰۱۹	۰/۰۲۱	۰/۹۳	۴/۳

نمودار تغییرات خطای اندازه‌گیری بر اساس تغییرات تعداد مولفه اصلی Lvs در شکل (۵) ارائه شده است. با توجه به شکل (۵) با افزایش تعداد مولفه اصلی فراتر از ۵ برای SSC و فراتر از ۱۲ برای TA دقیق مدل تنها به میزان کمی بیهوده می‌یابد اما در عوض پیچیدگی آن به علت افزایش تعداد مولفه چند برابر می‌شود بنابراین افزایش تعداد مولفه منطقی بنظر نمی‌رسد.



شکل ۵: تغییرات RMSEP در برابر LVS (الف) و RMSECV (ب) با استفاده از پیش‌پردازش مشتق اول و دوم

نتیجه گیری

استفاده از پیش‌پردازش مشتق اول (D1) و مشتق دوم (D2) تعداد نقاط دارای پیک را افزایش می‌دهد و باعث افزایش قدرت تفکیک طبیعی می‌شود. نتایج مدل سازی SSC و TA با استفاده از طیف پیش‌پردازش شده با مشتق اول و دوم دقیق‌تر نسبت به طیف پیش‌پردازش شده با سایر روش‌ها داشت که علت این امر می‌تواند به تعداد بیشتر متغیرهای پنهان (LVS) این پیش‌پرداز نسبت به سایر پیش‌پردازش‌ها نسبت داده شود.

مراجع:

1. Bellon-Maurel, V. 1992. Application de la spectroscopie proche infrarouge au contrôle en ligne de la qualité des fruits et légumes (Doctoral dissertation, Toulouse, INPT).
2. Butz, P., Hofmann, C., & Tauscher, B. 2005. Recent developments in noninvasive techniques for fresh fruit and vegetable internal quality analysis. Journal of food science, 70(9): 131-141.
3. García-Sánchez, F., Galvez-Sola, L., Martínez-Nicolás, J. J., Muelas-Domingo, R., & Nieves, M. 2017. Using near-infrared spectroscopy in agricultural systems. Developments in near-infrared spectroscopy, 1: 97-127.
4. Goke, A., Serra, S., & Musacchi, S. (2018). Postharvest dry matter and soluble solids content prediction in d'Anjou and Bartlett pear using near-infrared spectroscopy. *HortScience*, 53(5), 669-680.
5. Irudayaraj, J., & Gunasekaran, S. 2001. Optical methods: visible, NIR, and FTIR spectroscopy. Nondestructive food evaluation techniques to analyze properties and quality. New York: Marcel Dekker. p, 1-2.
6. Kljusurić, J. G., Jurina, T., Valinger, D., Benkovi, M., & Tušek, A. J. 2020. NIR spectroscopy and management of bioactive components, antioxidant activity, and macronutrients in fruits. In Fruit Crops (pp. 95-109). Elsevier.
7. Li, J., Zhang, H., Zhan, B., Wang, Z., & Jiang, Y. (2019). Determination of SSC in pears by establishing the multi-cultivar models based on visible-NIR spectroscopy. *Infrared Physics & Technology*, 102, 103066.
8. Mditshwa, A., Magwaza, L. S., Tesfay, S. Z., & Mbili, N. 2017. Postharvest quality and composition of organically and conventionally produced fruits: A review. *Scientia Horticulturae*, 216: 148-159.

9. Mehinagic, E., Royer, G., Symoneaux, R., Bertrand, D., & Jourjon, F. 2004. Prediction of the sensory quality of apples by physical measurements. Postharvest biology and technology, 34(3): 257-269.
10. Nicolaï, B. M., Lötze, E., Peirs, A., Scheerlinck, N., & Theron, K. I. 2006. Non-destructive measurement of bitter pit in apple fruit using NIR hyperspectral imaging. Postharvest biology and technology, 40(1): 1-6.
11. Norris, K.H. (1964) Agric. Engng, St. Joseph, Mich. 45, 370.
12. Roy, S., Anantheswaran, R. C., Shenk, J. S., Westerhaus, M. O., & Beelman, R. B. 1993. Determination of moisture content of mushrooms by Vis—NIR spectroscopy. Journal of the Science of Food and Agriculture, 63(3): 355-360.
13. Srivastava, S., & Sadistap, S. 2018. Data processing approaches and strategies for non-destructive fruits quality inspection and authentication: a review. Journal of Food Measurement and Characterization, 12(4): 2758-2794.
14. Sun, X., Liu, Y., Li, Y., Wu, M., & Zhu, D. (2016). Simultaneous measurement of brown core and soluble solids content in pear by on-line visible and near infrared spectroscopy. Postharvest Biology and Technology, 116, 80-87.
15. Tamburini, E., Costa, S., Rugiero, I., Pedrini, P., & Marchetti, M. G. 2017. Quantification of lycopene, β-carotene, and total soluble solids in intact red-flesh watermelon (*Citrullus lanatus*) using on-line near-infrared spectroscopy. Sensors, 17(4): 746-756.
16. Wang, Z., Jiang, Y., Wang, W., Hang, B., & Tong, W. 2014. Effects of out-store temperature after low-temperature storage on quality and physiological index of 'Suli'pear fruits. Journal of Fruit Science, 31(6): 1147-1153.
17. Xia, Y., Fan, S., Tian, X., Huang, W., & Li, J. (2020). Multi-factor fusion models for soluble solid content detection in pear (*Pyrus bretschneideri* 'Ya') using Vis/NIR online half-transmittance technique. Infrared Physics & Technology, 110, 103443.
18. Xie, L., Wang, A., Xu, H., Fu, X., & Ying, Y. 2016. Applications of near-infrared systems for quality evaluation of fruits: a review. Transactions of the ASABE, 59(2): 399-419.
19. Xie, L., Ye, X., Liu, D., & Ying, Y. 2011. Prediction of titratable acidity, malic acid, and citric acid in bayberry fruit by near-infrared spectroscopy. Food Research International, 44(7): 2198-2204.
20. Xu, Y., Zhong, P., Jiang, A., Shen, X., Li, X., Xu, Z., ... & Lei, H. 2020. Raman spectroscopy coupled with chemometrics for food authentication: A review. TrAC Trends in Analytical Chemistry, 116017.
21. Yi, X., Zhao, B., Tang, Y., & Xu, Z. 2020. Transcriptome analysis reveals the regulation of metabolic processes during the post-harvest cold storage of pear. Genomics, 112(6): 3933-3942.
22. Yuan, L. M., Mao, F., Chen, X., Li, L., & Huang, G. (2020). Non-invasive measurements of 'Yunhe'pears by vis-NIRS technology coupled with deviation fusion modeling approach. Postharvest Biology and Technology, 160, 111067.

Detection and prediction of soluble solids content (SSC) and titratable acid (TA) of pear fruit using spectroscopy

Narges saadati-Sharafeh ^{1*}, Vali Rasooli Sharabiani¹, Ebrahim Taghinezhadand¹ and Abdolmajid Moinfar¹

1. Biosystems Engineering Department, University of Mohaghegh Ardabili, Ardabil, Iran

Abstract

In recent years, infrared spectroscopy has gained wide acceptance in various fields due to its advantages over laboratory analytical methods. Its most prominent ability is to record spectra for solid and liquid samples without any pre-treatment and destructive effects. The aim of this study was to determine the quality properties of pear fruit during storage using infrared spectroscopy. The fruits were stored in three environments with different temperatures of 0, 5 and 10 ° C. Vis / NIR spectra were then measured for each sample from 4 fruit points. In the next step, the quality characteristics of pear fruit (SSC and TA) were determined based on chemical-laboratory methods and using reference tools and instructions. Since the acquired spectra have noise, the effects of disturbing factors are minimized by various pre-processing to provide clearer data for modeling the quality characteristics of pears. Finally, using the data obtained from spectroscopy and reference experiments based on the least squares regression (PLS) method was modeled. The results showed that the combination of infrared spectroscopy with chemometrics methods has a high ability to predict the quality properties of pear fruit. SSC prediction accuracy was obtained based on the pre-processed spectrum with the first derivative and with accuracy of $R^2 = 0.95$ and SDR = 4.8. The prediction accuracy of TA was obtained based on the pre-processed spectrum with the second derivative and with an accuracy of $R^2 = 0.96$ and SDR = 6.1.

Key words: Spectroscopy, Pre-processing, Near-Infrared, Pear, Soluble solids Content

*Corresponding author
E-mail: nrgsaadati1993@gmail.com